

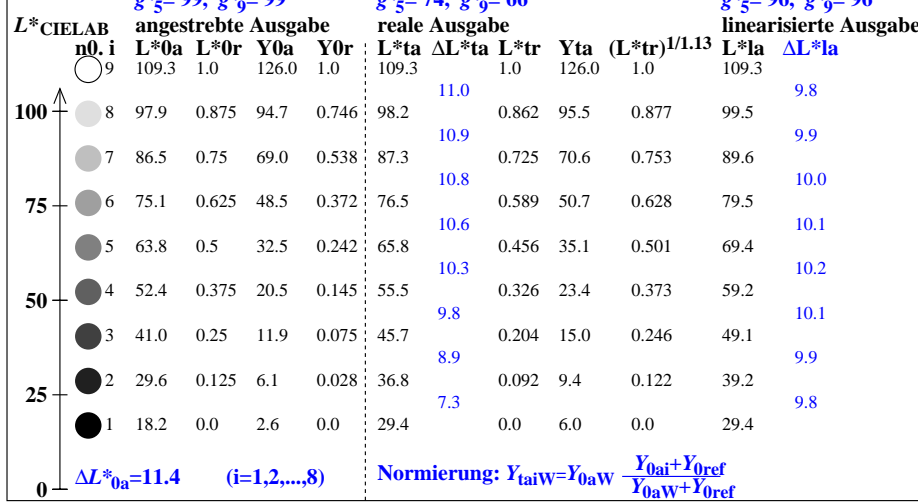
9stufige Grauskalierung zwischen  $L^*_{0aN}=18.2$  und  $L^*_{0aW}=109.2$ ,  $Y_{0ref}=3.6$ , Normierung Weiß W

$L^*_{0aN}=18.2$ ,  $L^*_{0aU}=63.8$ ,  $L^*_{0aW}=109.3$ ,  $Y_{0aN}=2.6$ ,  $Y_{0aU}=32.5$ ,  $Y_{0aW}=126.0$ ,  $C_{0aY}=Y_{0aW}:Y_{0aN}=49.0$

$L^*_{taN}=29.4$ ,  $L^*_{taU}=65.8$ ,  $L^*_{taW}=109.3$ ,  $Y_{taN}=6.0$ ,  $Y_{taU}=35.1$ ,  $Y_{taW}=126.0$ ,  $C_{taY}=Y_{taW}:Y_{taN}=21.0$

Regularitätsindex nach ISO/IEC 15775:2022, Anhang G für 5 und 9 Stufen

$g^* = 100 [\Delta L^*_{min}] / [\Delta L^*_{max}]$ ,  $L^*_{CIELAB} = 116 [Y/Y_n]^{1/3} - 16$  mit  $Y >= 0,882$ ,  $Y_n=100$



eek40-3n

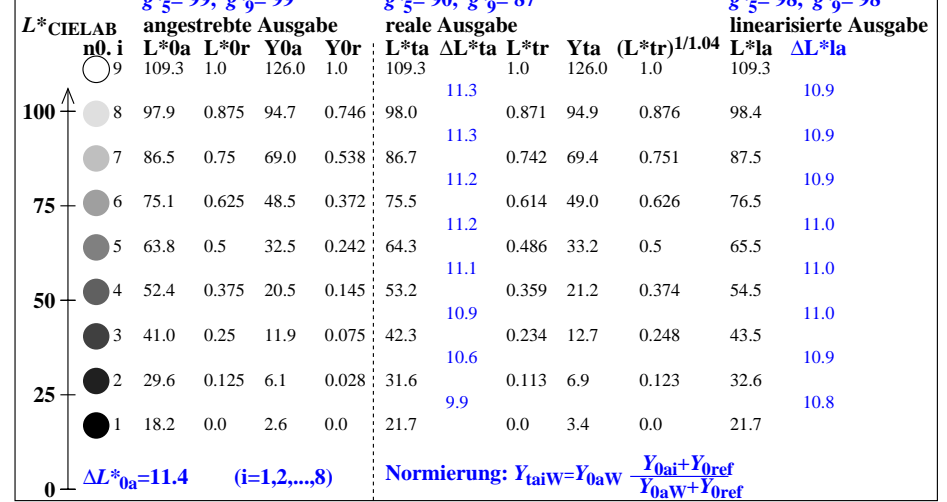
9stufige Grauskalierung zwischen  $L^*_{0aN}=18.2$  und  $L^*_{0aW}=109.2$ ,  $Y_{0ref}=0.9$ , Normierung Weiß W

$L^*_{0aN}=18.2$ ,  $L^*_{0aU}=63.8$ ,  $L^*_{0aW}=109.3$ ,  $Y_{0aN}=2.6$ ,  $Y_{0aU}=32.5$ ,  $Y_{0aW}=126.0$ ,  $C_{0aY}=Y_{0aW}:Y_{0aN}=49.0$

$L^*_{taN}=21.7$ ,  $L^*_{taU}=64.3$ ,  $L^*_{taW}=109.3$ ,  $Y_{taN}=3.4$ ,  $Y_{taU}=33.2$ ,  $Y_{taW}=126.0$ ,  $C_{taY}=Y_{taW}:Y_{taN}=36.5$

Regularitätsindex nach ISO/IEC 15775:2022, Anhang G für 5 und 9 Stufen

$g^* = 100 [\Delta L^*_{min}] / [\Delta L^*_{max}]$ ,  $L^*_{CIELAB} = 116 [Y/Y_n]^{1/3} - 16$  mit  $Y >= 0,882$ ,  $Y_n=100$



eek41-3n

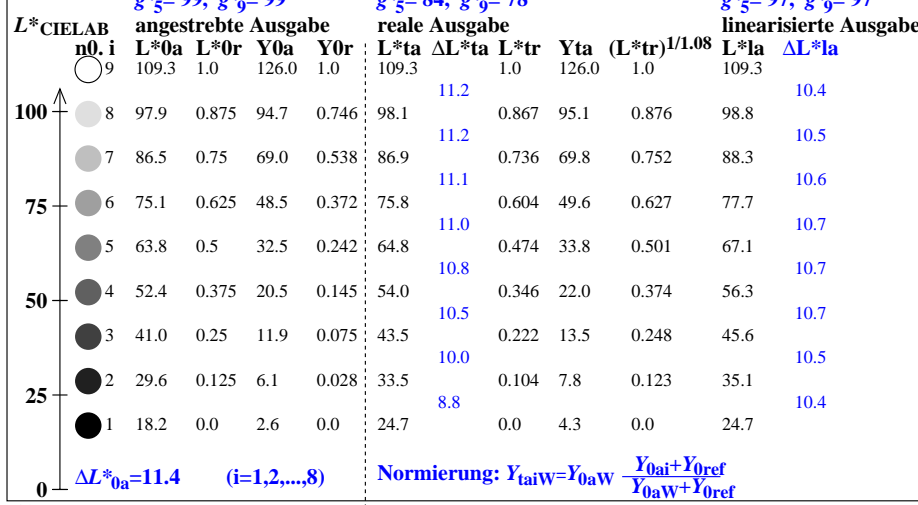
9stufige Grauskalierung zwischen  $L^*_{0aN}=18.2$  und  $L^*_{0aW}=109.2$ ,  $Y_{0ref}=1.8$ , Normierung Weiß W

$L^*_{0aN}=18.2$ ,  $L^*_{0aU}=63.8$ ,  $L^*_{0aW}=109.3$ ,  $Y_{0aN}=2.6$ ,  $Y_{0aU}=32.5$ ,  $Y_{0aW}=126.0$ ,  $C_{0aY}=Y_{0aW}:Y_{0aN}=49.0$

$L^*_{taN}=24.7$ ,  $L^*_{taU}=64.8$ ,  $L^*_{taW}=109.3$ ,  $Y_{taN}=4.3$ ,  $Y_{taU}=33.8$ ,  $Y_{taW}=126.0$ ,  $C_{taY}=Y_{taW}:Y_{taN}=29.2$

Regularitätsindex nach ISO/IEC 15775:2022, Anhang G für 5 und 9 Stufen

$g^* = 100 [\Delta L^*_{min}] / [\Delta L^*_{max}]$ ,  $L^*_{CIELAB} = 116 [Y/Y_n]^{1/3} - 16$  mit  $Y >= 0,882$ ,  $Y_n=100$



eek40-7n

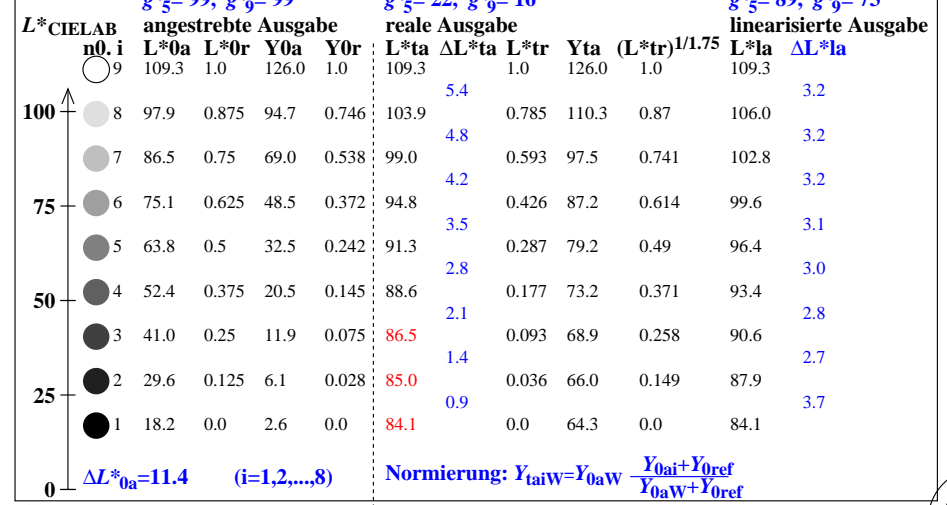
9stufige Grauskalierung zwischen  $L^*_{0aN}=18.2$  und  $L^*_{0aW}=109.2$ ,  $Y_{0ref}=126.0$ , Normierung Weiß W

$L^*_{0aN}=18.2$ ,  $L^*_{0aU}=63.8$ ,  $L^*_{0aW}=109.3$ ,  $Y_{0aN}=2.6$ ,  $Y_{0aU}=32.5$ ,  $Y_{0aW}=126.0$ ,  $C_{0aY}=Y_{0aW}:Y_{0aN}=49.0$

$L^*_{taN}=84.1$ ,  $L^*_{taU}=91.3$ ,  $L^*_{taW}=109.3$ ,  $Y_{taN}=64.3$ ,  $Y_{taU}=79.2$ ,  $Y_{taW}=126.0$ ,  $C_{taY}=Y_{taW}:Y_{taN}=1.9$

Regularitätsindex nach ISO/IEC 15775:2022, Anhang G für 5 und 9 Stufen

$g^* = 100 [\Delta L^*_{min}] / [\Delta L^*_{max}]$ ,  $L^*_{CIELAB} = 116 [Y/Y_n]^{1/3} - 16$  mit  $Y >= 0,882$ ,  $Y_n=100$



eek41-7n

Siehe ähnliche Dateien der ganzen Serie: http://farbe.li.tu-berlin.de/eeks.htm  
Technische Information: http://farbe.li.tu-berlin.de oder http://color.li.tu-berlin.de

TUB-Registrierung: 20230701-eek4/eek410na.txt /ps  
Anwendung für Beurteilung und Messung von Display- oder Druck-Ausgabe  
TUB-Material: Code=rh4ta